

مدلسازی نقش توپوگرافی در برآورد و پنهانه بندی تبخیر و تعرق پتانسیل با استفاده از سامانه اطلاعات جغرافیایی (مطالعه موردي- شهرستان سبزوار)

حسن لشکری^(۱,*)، قاسم کیخسروی^۲، سید مصطفی غیاثی^۳

۱- دانشیار دانشکده علوم زمین، دانشگاه شهید بهشتی

۲- مریب دانشکده علوم زمین، دانشگاه شهید بهشتی

۳- دانشجوی کارشناسی ارشد اقلیم شناسی، دانشگاه شهید بهشتی

پذیرش مقاله: ۱۳۸۸/۸/۹

تأیید نهایی مقاله: ۱۳۸۹/۱/۱۸

چکیده

مهمترین عامل موثر در تبخیر و تعرق، انرژی خورشیدی می باشد. بطوریکه هر تغییری در میزان انرژی رسیده، در افزایش یا کاهش تبخیر و تعرق موثر است.

در این مقاله سعی بر این است که با اثر وارد کردن ارتفاع و جهت شبیب در روش‌های متداول برآورد تبخیر و تعرق پتانسیل نسبت به اصلاح آنها اقدام گردد. ضریب به دست آمده از برآورد تبخیر و تعرق پتانسیل با استفاده از انرژی تابشی برای هر جهت در مرحله اول نشان داد که در ارتفاع برابر، میزان تبخیر تعرق پتانسیل در جهت جنوبی ۲۳/۳۴ درصد بیشتر از جهت‌های شمالی است. در مرحله بعد، با وارد نمودن نقشه توپوگرافی شهرستان سبزوار به محیط برنامه GIS نقشه DEM تهیی و سپس به تهیی نقشه جهت شبیب آن اقدام شد. این نقشه نشان داد جهت رو به شمال بیشترین مساحت را به خود اختصاص داده است. بعد از تهیی نقشه تبخیر و تعرق پتانسیل با استفاده از رابطه همبستگی ارتفاع ایستگاه‌ها با میزان تبخیر و تعرق پتانسیل محاسبه شده، برای هر ایستگاه ضرایبی به دست آمده در هر کدام از جهات، در نقشه جدید تبخیر و تعرق پتانسیل اعمال و نقشه فوق با توجه به تغییرات ارتفاع و جهت شبیب اصلاح گردید. با استفاده از جداول اطلاعات نقشه، مقادیر هر سلول جمع و میانگین تبخیر و تعرق پتانسیل برای کل حوضه برآورد شد که مقدار آن ۱۱۶۴/۸ میلی متر می باشد.

واژه‌های کلیدی: تبخیر و تعرق پتانسیل، سامانه اطلاعات جغرافیایی (GIS)، سبزوار

خصوصیات پوشش گیاهی، درجه تراکم آن و شدت تابش خورشید به ویژه در لایه های مجاور خاک در دمای هوا و نمناکی اثر بخشیده و به طور غیر مستقیم در شدت تبخیر نقش بازی می کنند. گیاهان آبی را که برای تامین فعالیت حیاتی خود از طریق زمین بدست می آورند. بعد از مصرف به صورت بخار آب به جو پس می دهد. مقدار بخار آبی که از طریق تعرق گیاهان به جو پس داده می شود، خیلی زیاد است و شاید در پاره ای از نواحی از تبخیر مستقیم از سطح زمین نیز بیشتر باشد. میزان تعرق بر حسب شدت نور، دما، سرعت باد و دوره گیاهی و بالاخره بر حسب جنس زمین و تراکم گیاهان تغییر می کند (جعفرپور، ۱۳۷۳).

انرژی خورشیدی مهمترین عامل موثر در تبخیر و تعرق بوده و هر گونه تغییر در میزان انرژی رسیده به سطح زمین، می تواند در میزان تبخیر و تعرق موثر باشد. این عوامل می توانند به دو دسته تقسیم شوند:

۱- عوامل جوی

۲- عامل ناهمواری

هر چند اکثر مدلهاي موجود برآورد تبخیر و تعرق پتانسیل، میزان تابش خورشیدی رسیده به سطح زمین را با توجه به عرض جغرافیایی، طول روزناکی روز و حتی ضریب انعکاس نور از سطح زمین نیز در نظر گرفته اند اما کمتر توجهی به جهت شبی آن داشته اند. در حالی که اختلاف های موجود در میزان دریافت انرژی خورشیدی در کوهستانهای مناطق خشک که ناشی از اختلاف در جهت شبی ها و میزان شبی می باشد، باعث اختلاف های زیادی در تبخیر رطوبت خاک و تعرق گیاه در شبی های رو به جنوب نسبت به شبی های شمالی شده است.

بی گمان اطلاعات دقیق و به هنگام، رکن مهم توسعه پایدار به شمار می آید. به ویژه در عصر

مقدمه

اهمیت تبخیر و تعرق از آنجا مشخص می شود که بدانیم در مقیاس جهانی حدود ۵۷ درصد آبی که در روی خشکیها به صورت نزوالت جوی فرو می ریزد، مستقیماً تبخیر می شوند. مقدار تبخیر از روی دریاها ۱۱۰ درصد مقدار نزوالت جوی روی آنهاست. در آب و هوای خشک و نیمه خشک قسمت اعظم بارندگیهای سالانه بلافاصله پس از بارش توسط تبخیر یا تعرق مجدداً وارد جو می شود.

به استثنای تبخیر از سطوح آزاد آب (مانند دریاها، دریاچه ها، رودخانه ها و مخازن آب) تبخیر در سطح زمین همواره با تعرق همراه بوده و مقدار تبخیر از سطوح مرطوب خاک و گیاه را نمی توان از یکدیگر تفکیک کرد. به همین دلیل به مجموع مقدار تبخیر^۱ از سطح خاک و مقدار آبی که از طریق ریشه های گیاه جذب و سطوح شاخ و برگ آن تعرق^۲ می پذیرد، تبخیر و تعرق^۳ گفته می شود (علیزاده، ۱۳۸۳).

میزان تبخیر در یک منطقه از این نظر حائز اهمیت است که طبقه بندیهای اقلیمی معمولاً بر اساس آن صورت می گیرد. در فعالیت های عمرانی تبخیر از دو نظر حائز اهمیت است، زیرا اولاً تبخیر مستقیم از سطح رودخانه ها، دریاچه ها و مخازن سدها باعث تلفات آب می شود. ثانیاً تبخیر و تعرق از سطح پوشش گیاهی داخل حوضه های آبریز نیز جزء مهم بیلان آب به حساب می آید. برآورد میزان آبی که در اثر آبیاری به مصرف تعرق زراعت و درختان می رسد، بر اساس تبخیر و تعرق است (علیزاده و همکاران، ۱۳۷۹).

1 - Evaporation

2 - Transpiration

3 - Evapotranspiration

پتانسیل^۴ و تبخیر و تعرق گیاه مرجع (ETO) از نظر مفهومی یکی در نظر گرفته شده و به هر دو تبخیر و تعرق پتانسیل نامیده می‌شود (احمدی و میرخالق، ۱۳۷۴).

کلاسنس و همکاران (۱۹۹۴) برای تهیه نقشه تبخیر و تعرق مرجع کلرادو، پارامترهای اقلیمی را در نقاط مختلف جمع آوری و سپس با استفاده از تحلیل همبستگی، روابط معنی داری بین پارامترهای اقلیمی و ارتفاع بدست آوردند (کلاسنس و همکاران، ۱۱۹۴).

فنی و وگل (۱۹۹۶) داده‌های ۳۴ ایستگاه درجه یک و مدل پنمن-مانتیث را برای تخمین تبخیر و تعرق مرجع ماهانه در منطقه شمال شرق ایالات متحده امریکا بکار گرفتند. برای درون یابی تبخیر و تعرق در سطح منطقه از رگرسیون چند متغیره استفاده گردید. که متغیرهای مستقل این رابطه رگرسیونی، میانگین دمای ماهانه، طول جغرافیایی و ارتفاع از سطح دریا بوده است (فنی و وگل، ۱۹۹۶).

روجاس و رولدان (۱۹۹۶) برای برنامه ریزی آبیاری درختان زیتون در استان جین اسپانیا برای محاسبه تبخیر و تعرق مرجع از معادله هارگریوز و برای پهنه بندی و درون یابی از روش معکوس مربع فاصله در سیستم اطلاعات جغرافیایی استفاده کردند (روجاس و رولدان، ۱۹۹۶).

اسکوپ و اکیوارون (۱۹۹۷) در یکی از حوضه‌های آبریز دانمارک از نقشه کاربری اراضی، سری‌های زمانی بارش ماهانه و تبخیر و تعرق پتانسیل در یک معادله رگرسیونی استفاده کرده و توزیع فضایی تبخیر و تعرق واقعی را تخمین زدند (اسکوپ و اکیوارون، ۱۹۹۷).

ری و ددوال (۲۰۰۱) با استفاده از داده‌های سنجنده WIFS ماهواره LRS-LC و همچنین

حاضر که افزایش نیازها و به تبع آن بهره‌گیری گسترده از منابع، سبب تجدید تراکنش بین انسان و طبیعت شده و جوامع بشری را با بحران‌ها و نابسامانی‌های عدیده ای مواجه ساخته است. در این بین نقش اطلاعات در مدیریت منابع، بسیار مهم و حیاتی تلقی شده است. باید توجه داشت حصول اطلاعات و مدیریت مناسب آن نیازمند ابزار و روش‌های کارآمدی است که پیشرفت‌های اخیر فناوری، امکانات بیشتری را در اختیار مدیران و برنامه‌ریزان جهت تضمیم گیری صحیح تر قرار داده است.

در میان مهمترین ابزارهای مدیریت منابع، باید از سیستم اطلاعات جغرافیایی (SAG)^۱ نام برد که در عرصه‌های مختلف برنامه ریزی توسعه، مدیریت منابع و مطالعات علمی و پژوهشی جهان راه یافته است و کاربردهای وسیعی را به جوامع علمی معرفی کرده است.

با پیشرفت و گسترش سامانه‌های اطلاعات جغرافیایی (SAG) در علوم زمینی^۲ و بویژه اقلیم‌شناسی، تسهیلات و قابلیت‌های فراوانی در این زمینه بوجود آمده است (مهریان و عشقی، ۱۳۸۴). در سالهای اخیر، افزوده شدن فناوری موقعیت یابی جهانی^۳ به عنوان یکی از ابزارهای اساسی ساج به این تکنولوژی، عصر جدیدی در افزایش قابلیت استفاده از ساج را در مدیریت منابع باز کرده است (جلالا، ۱۹۸۱).

پیشینه تحقیق

تبخیر تعرق گیاه مرجع اصولاً برابر تبخیر و تعرق پتانسیل است. علیرغم این تفاوت که سطح برگ خیس نیست و گیاه مرجع معمولاً چمن کوتاه یا یونجه می‌باشد، ولی در این تحقیق تبخیر و تعرق

1- Geographicad Informatino System

2- Geosciences

3- Global Positioning System

رگرسیونی توسط نرم افزار SPSS برطرف شد. همچنین به دلیل نبود ایستگاه در منطقه مورد مطالعه، ایستگاه کاشمر با عنوان یکی از ایستگاههای مجاور شهرستان سبزوار انتخاب گردید. پس از آن اقدام به محاسبه تبخیر و تعرق پتانسیل هر کدام از ایستگاهها به روش تورنت واایت شد.

بعد از آن با وارد کردن ارتفاع و جهت شیب روش تبخیر و تعرق پتانسیل نسبت به آن اصلاح گردید. برای این منظور ابتدا میزان انرژی خورشیدی رسیده به سطح زمین با توجه به ارتفاع و جهت برآورد گردید و این مقادیر برآورد شده انرژی رسیده به سطح زمین برای جهت‌های شمال و جنوب با استفاده از رابطه ۹ محاسبه شد. از این مقادیر، ضرایبی برای تاثیر دادن اثر جهت به منظور تصحیح میزان تبخیر و تعرق محاسبه شده با استفاده از مدل‌های متداول برآورد تبخیر و تعرق پتانسیل (روش ترنت واایت) استخراج گردید. سپس با برقراری رابطه رگرسیونی بین میزان تبخیر و تعرق پتانسیل محاسبه شده برای ۴ ایستگاه موجود در منطقه مورد نظر با ارتفاع هر ایستگاه انجام گردید و برای هر ارتفاع معین میزان تبخیر تعرق پتانسیل محاسبه گردید.

مشخصات ایستگاهها در جدول ۱ و موقعیت ایستگاهها در شکل ۱ نشان داده شده است.

استفاده از ساج، تبخیر و تعرق محصول را در ناحیه گجرات^۱ هند برآورد کرد (ری و ددوال، ۲۰۰۱).

اقدسی (۱۳۷۹) در زمینه انتخاب روش مناسب جهت تعیین تبخیر و تعرق پتانسیل در منطقه سمنان، بررسی هایی را انجام داده و چنین نتیجه گیری نمود است که کاربرد روش‌هایی مبتنی بر دما و تابش‌های خورشیدی در مناطق خشک و نیمه خشک جهت تعیین تبخیر و تعرق بر سایر روش‌ها ارجحیت دارد. از آنجا که کاربرد روش سامانی- هارگریوز به حداقل داده‌های هواشناسی نیاز دارد و از طرفی این روش تطابق خوبی با شرایط آب و هوایی ایران دارد، پیشنهاد نمود که رابطه مذکور با استفاده از داده‌های لایسیمتری برای نقاط مختلف اصلاح گردد (اقدسی، ۱۳۷۹). مهدیان و همکاران (۱۳۸۰) مطالعه‌ای به منظور برآورد دما و تبخیر با روش‌های متوسط متحرک وزنی، کریجینگ و تین پلیت اسموتینگ اسپیلنس در حوضه مرکزی انجام داده و روش تین پلیت اسموتینگ اسپیلنس برای منطقه پیشنهاد شد (مهدیان و همکاران، ۱۳۸۰).

مواد و روش مطالعه

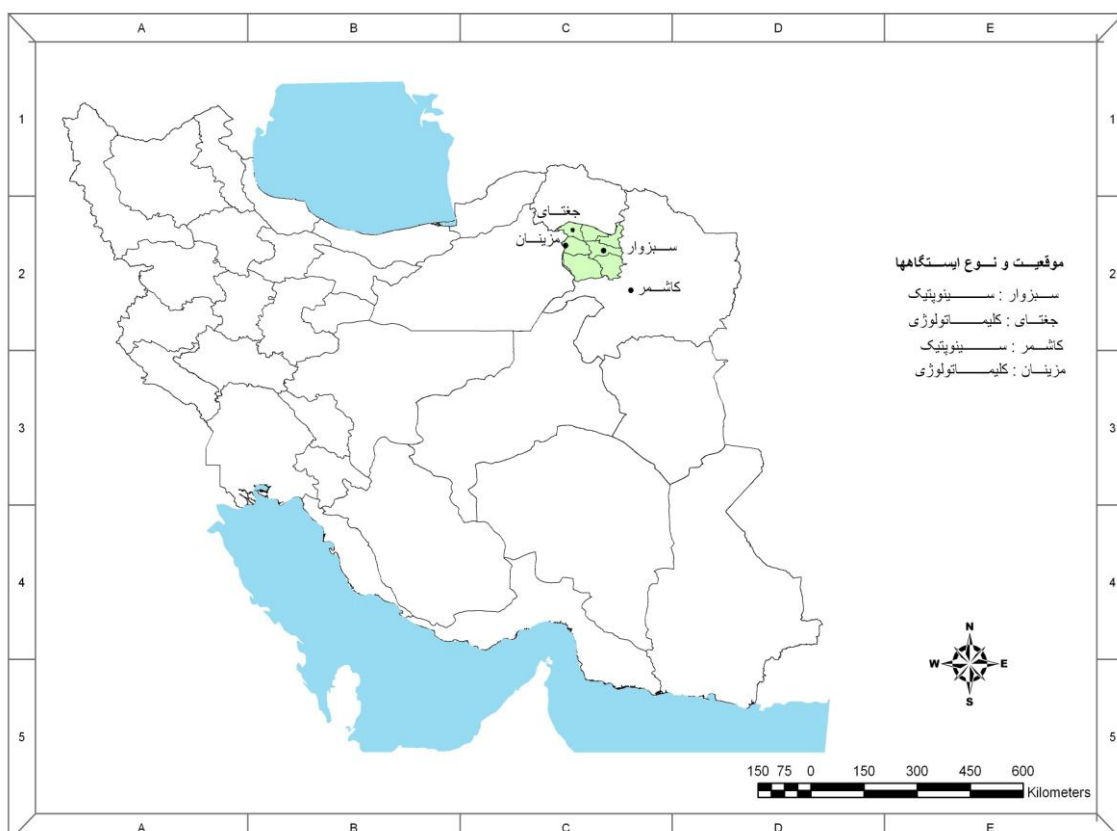
شهرستان سبزوار از طول جغرافیایی $۵۶^{\circ} ۰' - ۵۶^{\circ} ۱۵'$ و عرض $۳۰^{\circ} ۳۵' - ۳۶^{\circ} ۵۸'$ شرقی و در ۹۷۷ متر از سطح دریا و مساحت ۲۰۵۰۲ کیلومتر مربع در غرب استان خراسان رضوی واقع شده است.

در انتخاب ایستگاههای مورد مطالعه به وجود آمار طولانی مدت و صحیح توجه گردید و نواقص آماری از طریق بازسازی با روش تعیین میزان همبستگی بین ایستگاهها و معادله خطی

1- Gujarat.

جدول ۱- موقعیت ایستگاه‌های مورد مطالعه

میزان تبخیر و تعرق سالانه	عرض جغرافیایی	طول جغرافیایی	ارتفاع	ایستگاه
۱۳۵۲/۲	۳۶-۱۲	۵۷-۴۳	۹۷۷/۶	سبزوار
۱۰۴۹/۵۱	۳۶-۱۷	۵۶-۴۶	۷۶۰	مزینان
۶۷۳/۹۸	۳۶-۳۶	۵۷-۲	۱۳۷۳	جغتای
۹۸۹/۰۶	۳۵-۱۲	۵۸-۲۸	۱۱۰۹/۷	کاشمر



شکل ۱- نقشه منطقه مورد مطالعه نسبت به ایران و استان

تجربی تخمین تبخیر- تعرق پتانسیل (PET) از تبخیر و تعرق پتانسیل حداکثر مقدار تبخیر و تعرقی است که در یک شرایط آب و هوایی معین در صورتی که محدودیتی از نظر آب وجود نداشته باشد از یک پوشش کامل گیاهی مانند چمن صورت می‌گیرد. بسیاری از طبقه بندیهای اقلیمی

نتایج
الف) محاسبه تبخیر و تعرق پتانسیل در ایستگاه‌های مورد مطالعه

نظر به اینکه فرمول های تبخیر و تعرق واقعی معمولاً به نتایج مطلوبی منتهی نمی‌شوند و استفاده از لایسی متر نیز در تمام شرایط امکان پذیر نیست. روش‌های غیر مستقیم متعددی برای این منظور پیش بینی شده است که معادله های

الف): ابتدا نمایه حرارتی (im) برای هریک از ماههای سال از معادله زیر محاسبه می شود.

$$im = \left(\frac{Tm}{5} \right)^{1.51} \quad \text{رابطه (۱)}$$

در این معادله im نمایه حرارتی هر ماه و Tm متوسط دمای هوا در ماه مورد نظر می باشد. این کار برای تمام ۱۲ ماه سال انجام می گردد، که در جدول ۲ آمده است.

بجای استفاده از تبخیر و تعرق واقعی بر مبنای مقادیر تبخیر و تعرق پتانسیل می باشند.^۱

در هیدرولوژی برای محاسبه تبخیر و تعرق پتانسیل چند روش عمده مورد استفاده قرار می گیرد که یکی از آن روشها، روش ترننت وايت است. روش ترننت وايت: در روش ترننت وايت تبخیر- تعرق پتانسیل برای هر یک از ماههای سال محاسبه می شود. اساس این روش دمای متوسط ماهانه است که بصورت زیر عمل می شود.

جدول ۲ - شاخص حرارتی ماهانه ترننت وايت- ایستگاه سبزوار

ماه	ایستگاه	۱	۲	۳	۴	۵	۶	۷	۸	۹	۱۰	۱۱	۱۲	متوسط دمای ماهانه
۵/۹	سبزوار	۱۱/۳	۱۷/۹	۲۴/۵	۲۸/۶	۳۰/۴	۲۸/۸	۲۳/۲	۱۷/۶	۱۰/۹	۶	۳/۴	۱۲	متوسط دمای ماهانه
۱/۲۸		۳/۴۲	۶/۸۶	۱۱	۱۳/۹۲	۱۵/۲۶	۱۴	۱۰/۱۴	۶/۶۸	۳/۲۴	۱/۳۱	.۰۵۵	im	متوسط دمای ماهانه
۵	مزینان	۱۲	۱۷/۱	۲۵/۰۴	۲۹/۳۵	۳۰/۸۴	۲۹/۹	۲۳	۱۶	۱۲/۰۲	۶/۲۷	۶/۳	۱۲	متوسط دمای ماهانه
۱		۳/۷۵	۶/۴	۱۱/۳۹	۱۴/۴۷	۱۵/۶	۱۴/۸۸	۱۰/۰۱	۵/۷۹	۳/۷۶	۱/۴	۱/۴۱	im	متوسط دمای ماهانه
۳/۶	جفتای	۱/۱۰	۱۶/۸	۲۱/۹	۲۵/۷	۲۸/۲	۲۴/۹	۱۹	۱۳/۱	۶/۴	۱	.۹	۱۶	متوسط دمای ماهانه
۱/۶۰		۲/۸۹	۶/۲۳	۹/۳۰	۱۱/۸۴	۱۳/۶۲	۱۱/۲۹	۷/۵	۴/۲۸	۱/۴۵	۱/۰۸۰	.۰۷۵	im	متوسط دمای ماهانه
۶/۹	کاشمر	۱۲/۳	۱۸/۶	۲۴/۴	۲۸/۳	۲۹/۹	۲۸/۳	۲۳	۱۸/۱	۱۱/۱	۶/۶	۴/۶	۱۲	متوسط دمای ماهانه
۱/۶۲		۳/۸۹	۷/۲۷	۱۰/۹۵	۱۳/۷	۱۴/۸۸	۱۳/۷	۱۰/۰۱	۶/۹۷	۳/۳۳	۱/۵۲	.۸۸	im	متوسط دمای ماهانه

د) برای هریک از ماههای سال تبخیر- تعرق پتانسیل بر حسب میلی متر از رابطه ۳ محاسبه می گردد.

$$PET = 16Nm \left(\frac{10 \times \overline{Tm}}{I} \right)^a \quad \text{رابطه (۳)}$$

ب) نمایه حرارتی سال(I) از جمع نمایه های حرارتی ماهانه طی سال بدست می آید (جدول ۳).

$$I = \sum_{n=1}^{12} im \quad \text{رابطه (۲)}$$

$A =$ ضریبی است که به شاخص حرارتی سالانه بستگی دارد و مقدار آن از فرمول زیر (رابطه ۴) محاسبه می‌شود.

$PET =$ تبخیر و تعرق پتانسیل به میلی متر

$Tm =$ متوسط درجه حرارت در ماه مورد نظر

$I =$ شاخص حرارتی سالانه

$Nm =$ ضریب اصلاحی

$$a = (6.75 \times 10^{-7})I^3 - (7.71 \times 10^{-5})I^2 + (1.792 \times 10^{-2})I + 0.492$$

جدول ۳- نمایه حرارتی سال و ضریب a

ایستگاه	نمایه حرارتی سال(I)	ضریب a
سبزوار	۸۷/۷۴	۲/۲۰
مزینان	۸۹/۸۶	۱/۹۷
جفتای	۶۹/۱۶	۱/۳۶
کاشمر	۸۸/۷۲	۱/۹۱

یکدیگر جمع شوند. مثلاً منطقه سبزوار که در عرض جغرافیایی ۳۶ درجه شمالی واقع شده است. نظر به اینکه نمایه حرارتی سالانه (I) ۸۷/۷۴ و ضریب a معادل ۲/۲۰ می‌باشد، تبخیر- تعرق پتانسیل سالانه ۱۳۵۲/۲ میلی متر است. همانطور که از شکل ۲ مشاهده می‌کنیم، از اواسط ماه مارس (اسفند) تا اواسط ماه نوامبر(آبان) شرایط خشکی در این ایستگاه حاکم است. در ایستگاه مزینان و جفتای (شکل های ۳ و ۴) از اوائل ماه می (اردیبهشت) تا اواخر ماه نوامبر (آبان) شرایط خشکی حاکم است. با این تفاوت که شرایط خشکی ایستگاه مزینان نسبت به ایستگاه جفتای شدیدتر است. در ایستگاه کاشمر (شکل ۵) شرایط خشکی از اواخر مارس (اسفند) شروع و تا اواخر ماه نوامبر (آبان) ادامه می‌یابد. بنابراین همانطور که از نمودارها مشاهده می‌شود، در تمامی ایستگاهها فقط در زمستان و پاییز شرایط مرطوبی وجود دارد.

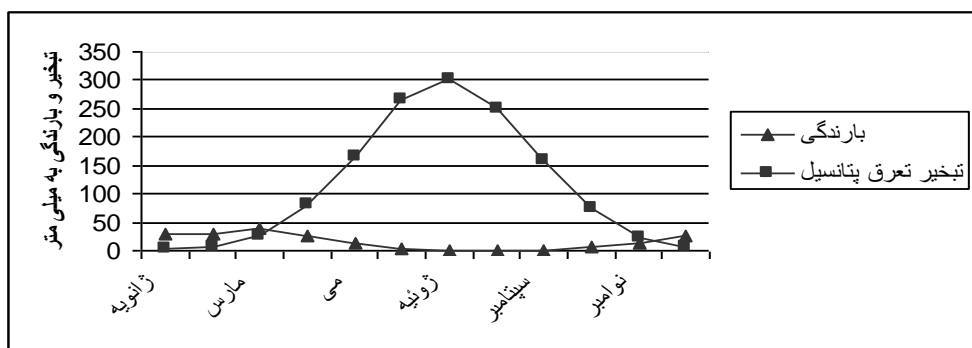
محاسبه PET با استفاده از معادله فوق برای هر یک از ماهها با این فرض بوده است که هر ماه ۳۰ روز و هر روز ۱۲ ساعت روشنایی داشته باشد، حال آنکه تعداد روزهای هر ماه و تعداد ساعت روشنایی در ماههای مختلف سال متفاوت است. بنابراین لازم است PET با اعمال ضریب Nm که مقادیر آن برای ماههای مختلف اصلاح گردد.

طبق جدول شماره ۴ تبخیر و تعرق پتانسیل به این روش برای هر کدام از ایستگاهها در ماههای مختلف محاسبه شده است. همانطور که از نقشه پیداست، بیشترین تبخیر و تعرق پتانسیل در کل ایستگاهها در ماه ژوئیه (تیر) و کمترین آن، در ایستگاههای سبزوار، جفتای و کاشمر در ماه ژانویه (دی) و در ایستگاه مزینان در ماه دسامبر (اسفند) می‌باشد.

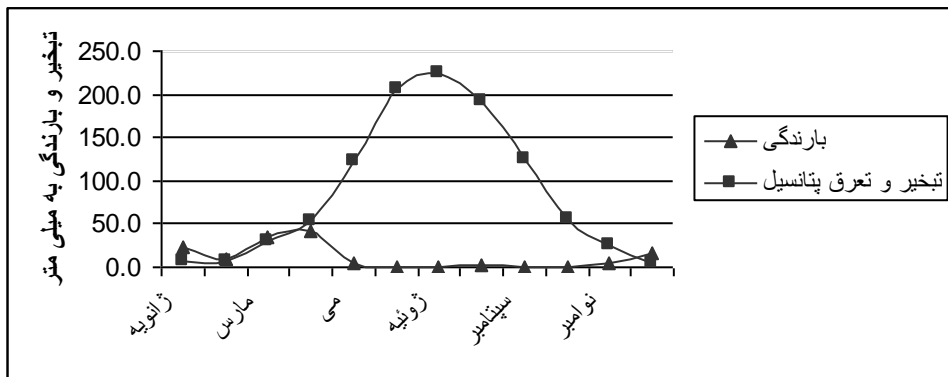
در روش ترنت وايت، در صورتی که نیاز به جمع تبخیر- تعرق سالانه باشد باید محاسبات مربوطه برای هر یک از ماههای سال انجام و سپس با

جدول ٤- مقایسه بارش و تبخیر و تعرق

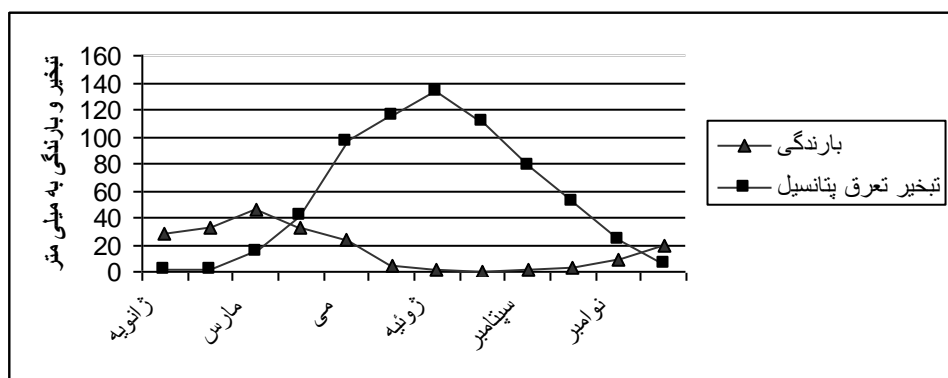
ماه	ایستگاه	تاریخ	سنجش	سنجش	سنجش	سنجش	سنجش	سنجش	سنجش	سنجش	سنجش	سنجش	سنجش
پریب اصلاحی عرض ۳۵-۴۰ (Nm) درجه)	ایستگاه	۰/۸۵	۰/۸۶	۰/۹۷	۱/۰۳	۱/۱۶	۱/۲۳	۱/۲۱	۱/۲۱	۱/۰۹	۱/۰۳	۰/۸۵	۰/۸۷
متوسط دمای ماهانه	سبزوار	۵/۹	۱۱/۳	۱۷/۹	۲۴/۵	۲۸/۶	۳۰/۴	۲۸/۸	۲۲/۲	۱۷/۶	۱۰/۹	۶	۳/۴
PET	سبزوار	۵/۰۷	۲۳/۹	۷۷/۴	۱۵۷/۷	۲۴۹/۶	۳۰۲/۸	۲۶۴/۴	۱۶۴/۳	۸۰/۶	۲۶۵/۵	۵/۸	۱/۷۲
بارندگی(mm)	مزینان	۲۵/۵	۱۱/۸	۶/۲	۰/۷	۰/۵	۱/۲	۲/۷	۱۴/۴	۲۶/۴	۳۷/۸	۳۰/۱	۳۰/۱
متوسط دمای ماهانه	مزینان	۵	۱۲	۱۷/۱	۲۵/۰۴	۲۹/۳۵	۳۰/۸۴	۲۹/۹	۲۳	۱۶	۱۲/۰۲	۶/۲۷	۶/۳
PET	جفتای	۴/۲۸	۲۴/۳۲	۵۵/۱۲	۱۲۴/۰۹	۱۹۱/۰۹	۲۲۳/۳۸	۲۰۶/۷۵	۱۲۳/۳	۵۴/۳۴	۲۹/۲۳	۶/۷	۶/۹۱
بارندگی(mm)	جفتای	۱۶/۷۷	۴/۳	۰	۰	۳	۰	۰	۳/۹	۷۱/۷	۳۴/۴	۱۰/۳	۲۳
متوسط دمای ماهانه	جفتای	۳/۶	۱,۱۰	۱۶/۸	۲۱/۹	۲۵/۷	۲۸/۲	۲۴/۹	۱۹	۱۳/۱	۶/۴	۱	.۹
PET	کاشمر	۵/۰۸	۲۳/۰۴	۵۱/۹۸	۷۹/۲۰	۱۱۰/۹۱	۱۳۳/۴۶	۱۱۰/۱۸۲	۱۰۰/۷۲	۴۱/۶۲	۱۴/۸۲	.۹۷	.۸۶
بارندگی(mm)	کاشمر	۱۸/۹	۹/۳	۳/۴	۲/۱	.۰۵	۱/۰۵	۴/۴	۲۴/۴	۳۳	۴۵/۶	۲۳/۴	۲۸/۴
متوسط دمای ماهانه	کاشمر	۶/۹	۱۲/۳	۱۸/۶	۲۴/۴	۲۸/۳	۲۹/۹	۲۸/۳	۲۳	۱۸/۱	۱۱/۱	۶/۶	۴/۶
PET	کاشمر	۸/۴۱	۲۵/۶۸	۶۳/۸۱	۱۱۳/۸	۱۷۰/۱۲	۲۰۰/۳۷	۱۷۷/۴۵	۱۲۲/۸۸	۶۹/۵۴	۲۵/۴۵	۷/۶۶	۲/۸۹
بارندگی(mm)	کاشمر	۳۲/۵	۹/۶	۴/۵	۰/۷	۰/۲	۰/۶	۱/۵	۱۲/۷	۲۷/۷	۴۷	۲۹/۵	۳۱/۱



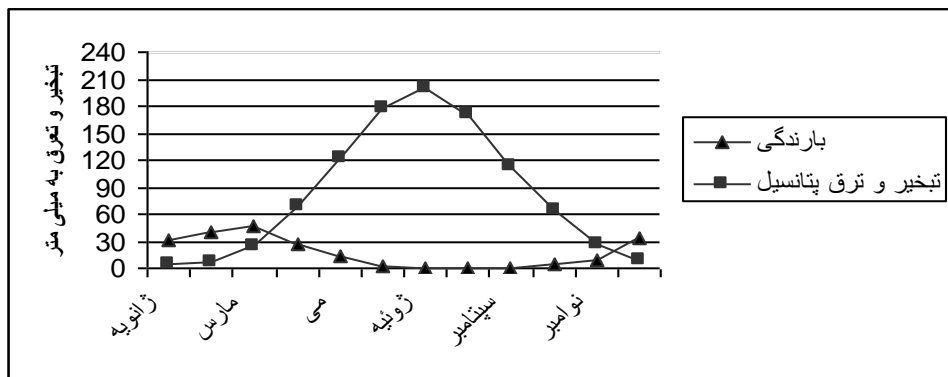
شکل ۲- مقایسه بارش و تبخیر و تعرق در ایستگاه سبزوار



شکل ۳- مقایسه بارش و تبخیر و تعرق در ایستگاه مزینان



شکل ۴- مقایسه بارش و تبخیر و تعرق در ایستگاه جفتای



شکل ۵- مقایسه بارش و تبخیر و تعرق در ایستگاه کاشمر

خورشیدی مقادیر این زوایا از ۶ صبح الی ۱۸ بعد از ظهر روز اول هر ماه با استفاده از روابط ۵ و ۶ برای ایستگاه سبزوار محاسبه گردید:

رابطه (۵)

$$\sin H = (\sin L \cdot \sin D) + (\cos L \cdot \cos D \cdot \cos T)$$

$$\sin z = \sin T \cdot \cos D / \cos H \quad (6)$$

در رابطه فوق H زاویه تابش خورشید، L عرض جغرافیایی محل، D زاویه میل خورشید، T زمان

ب) مدل محاسبه مقدار تابش خورشیدی

۱-زاویه تابش بر روی یک سطح هموار (زاویه بین اشعه تابش خورشید با سطح زمین) برای عرض جغرافیایی معین (Ground Sun Angle).

۲-جهت شیب (Dip direction)

۳-درجه شیب (Slope) بدین منظور در مرحله اول با توجه به تاثیر زیاد دو عامل زاویه تابش و جهت تابش در مقدار تابش

۱۸۰ درجه کسر کرد. در صورتی که شیب رو به شمال باشد، درجه شیب زمین از زاویه تابش خورشید کسر می گرد (آرونوف، ۱۹۸۹).

بعد از یافتن درجه زمینی تابش خورشید از رابطه ۸ میزان انرژی رسیده به سطح زمین با توجه به شیب، جهت و عرض جغرافیایی و همچنین ماه مورد نظر و وضعیت پوشش گیاهی محاسبه گردید.

برای محاسبه ضریب آبدو و وضعیت پوشش گیاهی در شیب های مختلف و جهت های شیب متفاوت مورد بررسی قرار گرفت و با توجه به آن ضریب آبدو مشخص گردید.

$$S.H = Si(1-A)\sin S.A.g \quad (8)$$

در این رابطه Si میزان انرژی رسیده به سطح زمین می باشد که مقدار این انرژی با توجه به وضعیت جوی بالای منطقه، مدت زمان تابش، زاویه تابش و ابرناکی آسمان متفاوت می باشد که مقدار آن برای فصول مختلف و با توجه به وضعیت جوی بالای منطقه محاسبه گردید. A ضریب آبدو، $S.H$ (میزان انرژی گرمایی خورشیدی) برای هر ماه و هر واحد که جداگانه محاسبه می گردد.

حال برای تبدیل میزان انرژی رسیده به سطح زمین (Rn) به میزان تبخیر و تعرق پتانسیل، از رابطه ۹ استفاده شد (میجرینک، ۱۹۸۸).

$$ET = Rn / \lambda \quad (9)$$

در این رابطه λ گرمای نهان تبخیر آب است که برابر با $2/453$ مگاژول بر کیلوگرم می باشد. از اختلاف مقادیر بدست آمده برای جهت های شمال و جنوب، ضرایبی برای تاثیر دادن اثر جهت در میزان تبخیر و تعرق پتانسیل برآورد شده با روش های معتبر استخراج شد. برای این کار میزان تبخیر و تعرق پتانسیل برآورد شده برای جهت شمال را که دارای کمترین مقدار بود،

تابش و Z جهت تابش (آزمونت تابش) می باشد (حاج سقطیعی، ۱۳۸۰).

در مرحله دوم برای تعیین جهت شیب منطقه مورد مطالعه اقدام به تهیه نقشه جهت شیب از نقشه توپوگرافی منطقه گردید که در نتیجه جهت شیب های موجود در منطقه به دو دسته شمالی جنوبی تقسیم شد و از دشت ها در منطقه به لحاظ نداشتن شیب و جهت شیب صرفنظر گردید*.

در مرحله سوم با توجه به این که عمدۀ شیب های موجود در منطقه بین 0 تا 40 درجه می باشد، اقدام به طبقه بندی شیب های منطقه گردید که برای این طبقه بندی شیب های بین 0 تا 10 با فواصل یکتایی و شیب های بیشتر از 10 را با طبقات ۵ تایی در نظر گرفته شد. همانطور که در نقشه شیبی که در محیط GIS ترسیم شده است، حدود $99/99$ درصد شیب های موجود در منطقه بین $40-0$ می باشد که در طبقه بندی مربوطه لحاظ شده اند و شیب های بیشتر از 40 درجه به دلیل ناچیز بودن آنها صرفنظر شده است.

حال با یافتن زاویه تابش در زمان و عرض جغرافیایی معین و با اطلاع از شیب و جهت آن، زاویه تابش خورشید، در سطح زمین شیب دار ($S.A.g$) با استفاده از رابطه ۷ برای هر یک از شیب های طبقه بندی شده و در موقع مختلف سال و با توجه به جهت شیب محاسبه گردید.

$$S.A.g = S.A \pm d \quad (7)$$

در این رابطه $S.A$ ، زاویه تابش در سطح صاف، d درجه شیب زمین می باشد. اگر جهت شیب جنوبی باشد، بایستی درجه شیب زمین را به زاویه تابش خورشید اضافه و اگر اندازه بدست آمده بزرگتر از 90 درجه باشد، بایستی رقم فوق را از

* البته تبخیر و تعرق پتانسیل در دشت ها به روش تورنت وایت محاسبه شد.

ضریب یک در نظر گرفته شد و ضریب جهت جنوب با توجه به این ضریب بدست آمد (جدول ۵).

جدول ۵- میزان تبخیر و تعرق پتانسیل محاسبه شده از طریق انرژی خورشیدی و انرژی خورشیدی رسیده به زمین و ضرایب استخراج شده

جهت ها	شمال	جنوب
میانگین	۲۶۶/۹۸۰۶	۴۲۹/۶۹۵۹
ضریب	۱	۱/۶۱

ارتفاع (DEM) ساخته شد (شکل ۷). با استفاده از این نقشه، در ادامه نقشه شیب (شکل ۸) و جهت شیب (شکل ۹) استخراج گردید. هیستوگرام این نقشه نشان داد که شیب رو به شمال بیشترین مساحت به مقدار ۴۲/۶۱ به خود اختصاص داده است.

در بخش محاسبه نقشه تبخیر و تعرق پتانسیل در ارتفاعات مختلف رابطه شماره ۱۰ اعمال شد. برای این کار، بجای X در رابطه شماره ۱۰، از نقشه تبخیر و تعرق پتانسیل با توجه به ارتفاع هر نقطه می باشد (شکل ۱۰).

با استفاده از ضرایب بدست آمده برای جهت های مختلف و اعمال آنها در این نقشه در محیط محاسبه سامانه نقشه، نقشه ای تهیه گردید که نقشه تبخیر و تعرق پتانسیل با توجه به ارتفاع و جهت شیب می باشد (شکل ۱۱). جدول اطلاعات این نقشه به محیط برنامه SPSS انتقال داده شد و با استفاده از اطلاعات مربوط به مقدار تبخیر و تعرق پتانسیل برای هر پیکسل و مساحت ناحیه اشغال شده، میانگین تبخیر و تعرق پتانسیل برای کل شهرستان به میزان ۱۱۶۴/۸ میلیمتر و برای مناطق دارای شیب (به غیر از مناطق بدون شیب در شهرستان) به میزان ۹۴۰/۹۶ میلیمتر برآورد شد. در حالی که در روش تورنت وايت (جدول ۱) میزان تبخیر و تعرق بصورت نقطه ای (بدون در

برای تاثیر دادن ارتفاع، ابتدا میزان تبخیر و تعرق پتانسیل در ایستگاه های مطالعه شده (که در نقاط ارتفاعی متفاوت قرار دارند) با استفاده از روش تورنت وايت محاسبه کرده و سپس بین مقدار تبخیر و تعرق پتانسیل و ارتفاع ایستگاه های فوق رابطه رگرسیونی برقرار گردید. با توجه به عدد حاصل از این رابطه، اقدام به تهیه نقشه تبخیر و تعرق پتانسیل در ارتفاعات مختلف منطقه گردید.

$$y = -0/7413x + 1798/4 \quad (10)$$

$$R^2 = 0/4673 \quad \sqrt{0.46} = 0.67$$

که در این رابطه $y =$ مقدار تبخیر و تعرق پتانسیل و $X =$ ارتفاع هر نقطه می باشد.

در نهایت، ضرایبی که برای جهت شمال و جنوب در شیب های مختلف محاسبه گردیده بود در میزان تبخیر و تعرق پتانسیل محاسبه شده در ارتفاعات مختلف اعمال شده و بدین ترتیب میزان تبخیر و تعرق پتانسیل در ارتفاعات مختلف با توجه به شیب و جهت شیب در منطقه بدست آمد.

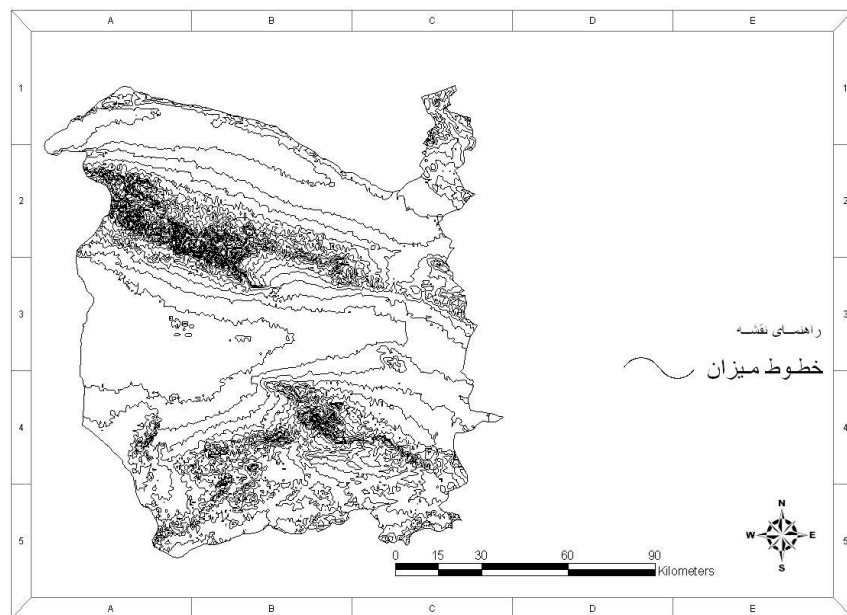
ج) مطالعه موردی در محیط GIS

این روش کار برای شهرستان سبزوار مورد استفاده قرار گرفت و در محیط یک سامانه اطلاعات جغرافیایی بکار برده شد. ابتدا نقشه توپوگرافی با مقیاس ۱:۵۰۰۰ (شکل ۶) وارد سامانه گردیده و بعد از رستری کردن و درونیابی نقطه ای، نقشه

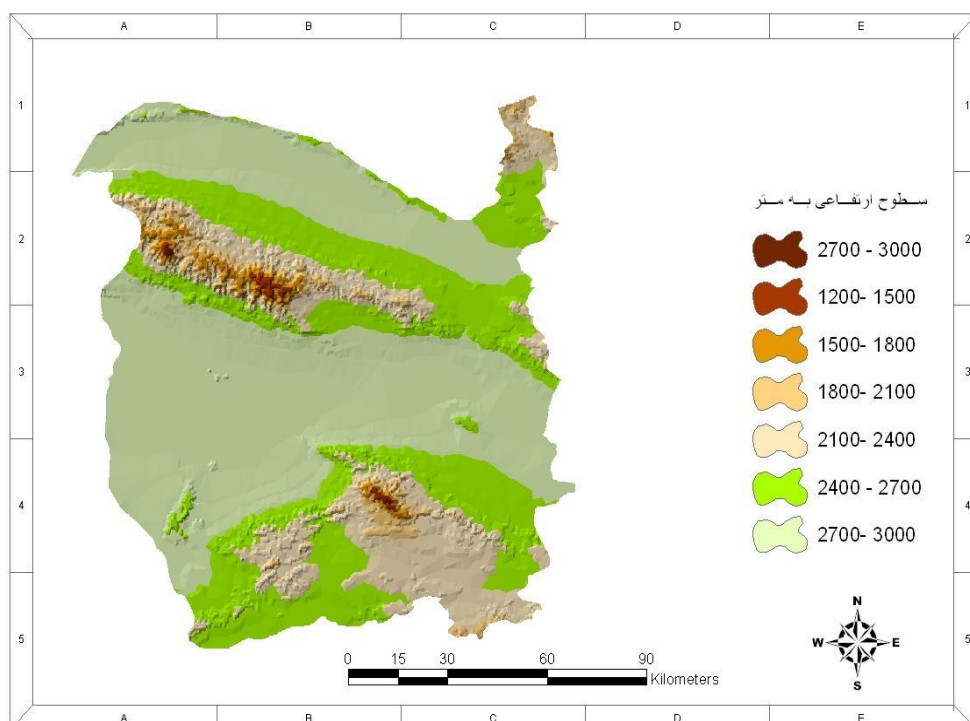
و ۹۸۹/۰۶ میلیمتر بوده است. و میانگین وزنی سه ایستگاه که در داخل منطقه قرار گرفته است برابر است با :

$$ETP = \frac{ETP_1 + ETP_2 + \dots + ETP_n}{n} = \frac{1352.2 + 1049.51 + 673.98}{3} = 1025.23 \text{ mm}$$

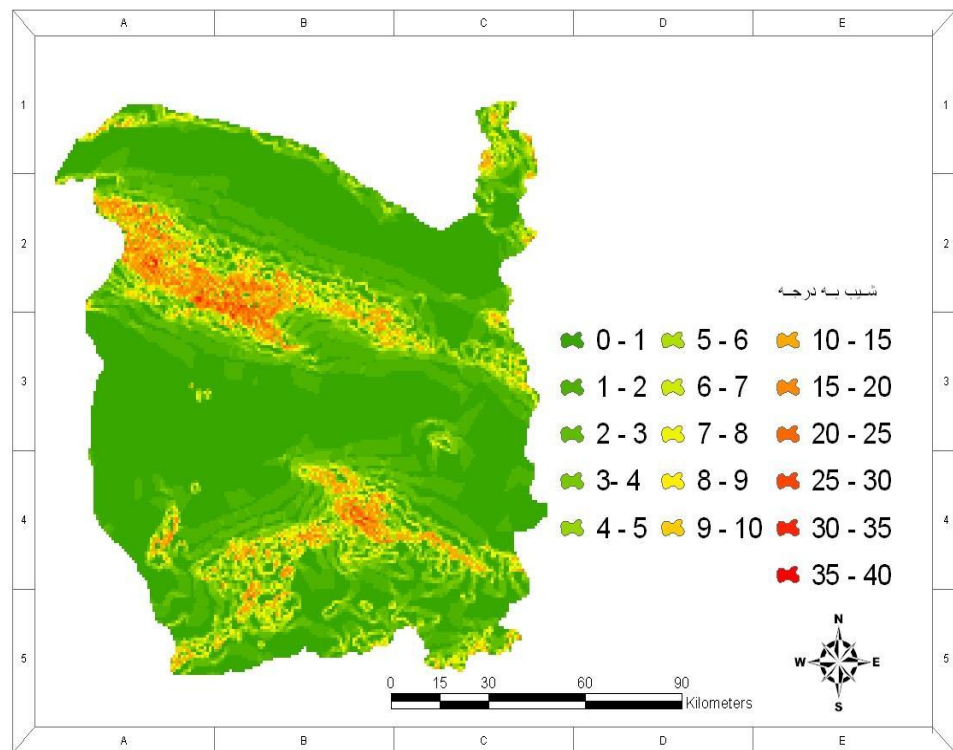
نظر گرفتن عامل ارتفاع، شیب و جهت شیب) در ایستگاههای سبزوار، مزینان، جفتای و کاشمر به ترتیب برابر است با ۱۳۵۲/۲، ۱۰۴۹/۵۱، ۶۷۳/۹۸



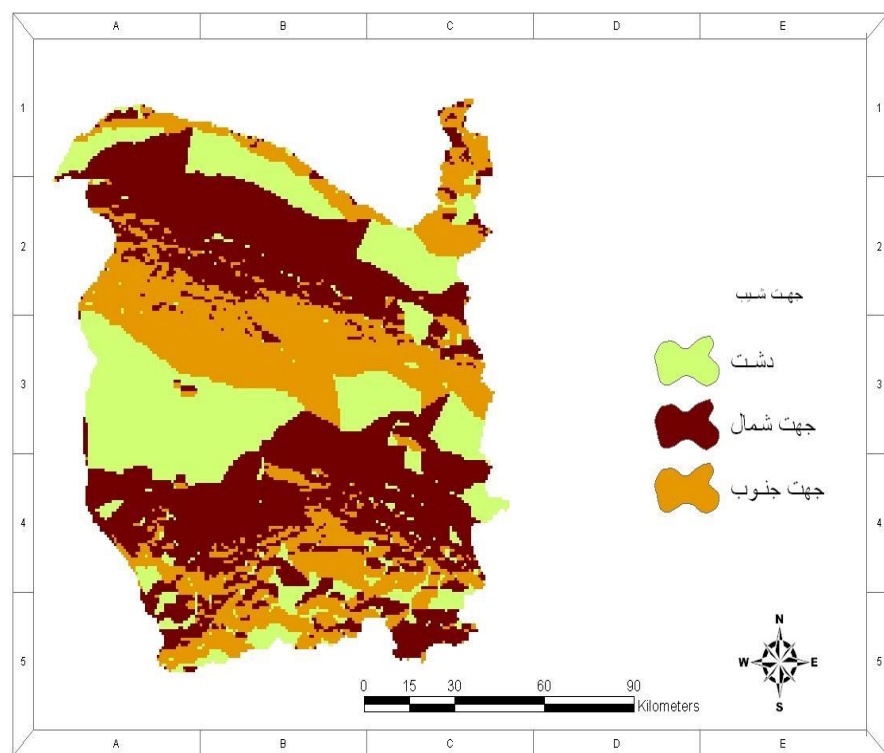
شکل ۶- نقشه توپوگرافی منطقه مورد مطالعه



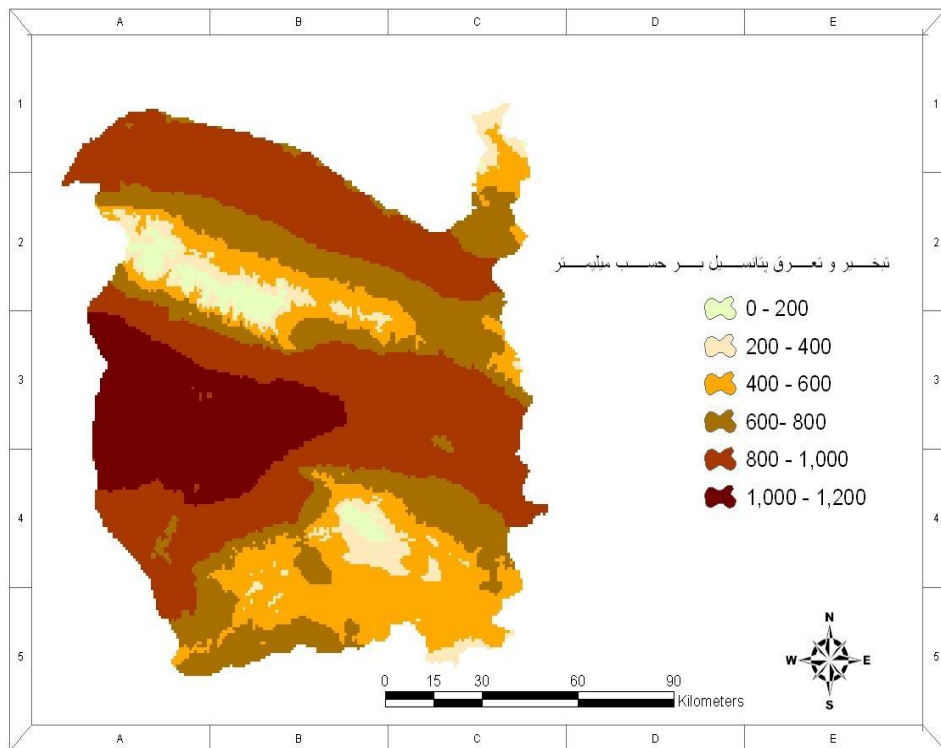
شکل ۷- نقشه سطوح ارتفاعی منطقه مورد مطالعه



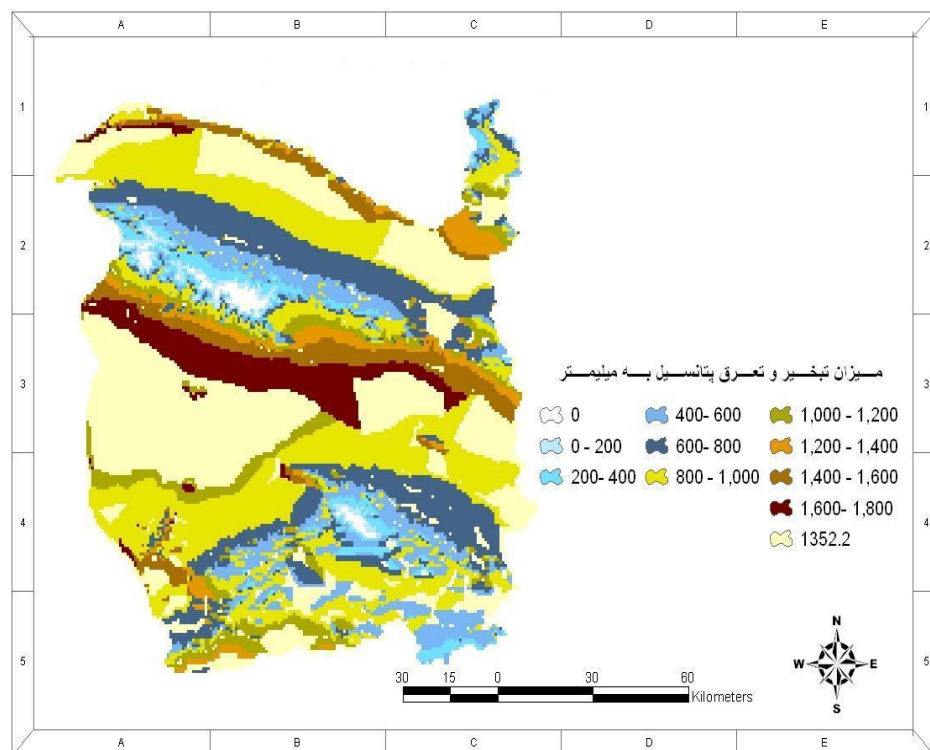
شکل ۸ - نقشه شیب منطقه مورد مطالعه



شکل ۹ - نقشه جهت شیب منطقه مورد مطالعه



شكل ۱۰- نقشه میزان تبخیر و تعرق در ارتفاعات مختلف منطقه مورد مطالعه



شكل ۱۱- نقشه تبخیر و تعرق پتانسیل بر اساس ارتفاع و جهت در منطقه مورد مطالعه

می باشد. بطوریکه در تمام مناطق کوهستانی با داشتن اطلاعات پایه در مورد میزان دریافت روزانه انرژی خورشیدی، وضعیت پوشش گیاهی و موقعیت منطقه مورد مطالعه می توان مدل فوق را ۴۲/۶۱ به کار گرفت. دانستن این موضوع که درصد از مساحت حوضه را جهت شب شمالي تشکیل می دهد وجود ۲۳/۳۴ درصد اختلاف در تبخیر و تعرق پتانسیل بین دو جهت شب جنوبی و شمالي و افزایش ۳۱/۳۶ درصدی در میزان تبخیر و تعرق پتانسیل برآورد شده با تاثیر دادن ارتفاع و جهت در شهرستان سبزوار نسبت به برآورد تبخیر و تعرق پتانسیل با اثر دادن عامل ارتفاع به تنها، نشان می دهد که بایستی در برآورد این عامل در مناطق کوهستانی و در نهايیت در برنامه ریزهای مربوط به منابع آبی حوضه تجدید نظر کرد. بدیهی است ضرایب فوق نیز با توجه به موقعیت هر منطقه تغییر خواهد کرد. همچنین می توان از این روش، دیگر مدلها برآورد میزان تبخیر و تعرق پتانسیل را که به نظر منطقی تر و صحیح تر می آیند، انتخاب و بر اساس ارتفاع و جهت شب شب آن اصلاح نمود.

- علیزاده، ا.، ۱۳۸۳. اصول هیدرولوژی کاربردی، انتشارات دانشگاه امام رضا، چاپ هفدهم، ۴۸۹ صفحه.
 - علیزاده، ا.، کمالی، غ.، ع.، موسوی، ف.، و موسوی بایگی، م.، ۱۳۷۹. هوا و اقلیم شناسی، انتشارات دانشگاه فردوسی مشهد، چاپ پنجم، ۳۷۴ صفحه.
 - مهدیان، م.ح.، متین، م.، غیاثی، ن.، اخباری، ت.، و مختاری، ا.، ۱۳۸۰. بررسی روش های میانیابی برای تعیین حداقل خطای تخمین (مطالعه موردي)، درجه حرارت و تبخیر)، مجله تحقیقات مهندسی کشاورزی، جلد ۲، شماره ۸.

نتیجه گیری

روش های زیادی برای محاسبه میزان تبخیر و تعرق در شرایط اقلیمی و جغرافیایی مختلف با استفاده از داده های هواشناسی توسعه داده شده و مورد آزمایش قرار گرفته اند. این روش ها از روابط تجربی ساده گرفته تا روش های که اساس فیزیکی پیچیده ای دارند متغیر می باشند. چون اغلب این روش ها از اندازه گیرها نقطه ای برای تخمین تبخیر تعرق استفاده می کنند. لذا فقط مناسب مناطق محلی بوده و به خاطر طبیعت پویا و تغییرات منطقه ای تبخیر و تعرق قابل تعمیم به حوضه های بزرگ نمی باشند (لی و لايونز، ۱۹۹۹) لذا در این مطالعه به داده های نقطه ای متکی نبوده و سعی بر آن شده است که با عواملی از قبیل زاویه تابش خورشید، درجه شب، جهت شب، آبدو، وضعیت پوشش گیاهی و غیره، به محاسبه تبخیر و تعرق پتانسیل در منطقه مورد مطالعه پرداخت.

هر چند این روش می تواند دارای اشکالاتی باشد اما زمینه های اصلاح نیز وجود دارد، و حسن بزرگ آن، قابلیت انعطاف پذیری فراوان این روش

منابع

- احمدی، ت.، و میرخالق، ض.، ۱۳۷۴. بررسی مقایسه روش های روش های برآورد تبخیر و تعرق در استان مازندران، نیوار، صفحات ۴۰-۲۵-۱۳۷۹.
- اقدسی، ب.، ۱۳۷۹. انتخاب روش مناسب جهت تعیین تبخیر و تعرق پتانسیل در سمنان، پایان نامه کارشناسی ارشد، دانشگاه آزاد اسلامی واحد علوم و تحقیقات تهران، ۲۵۴ صفحه.
- جعفرپور، ا.، ۱۳۷۳. اقلیم شناسی، انتشارات دانشگاه تهران، اردیبهشت ماه، ۳۸۵ صفحه.
- حاج سقطیعی، ا.، ۱۳۸۰. اصول کاربرد انرژی خورشیدی، دانشگاه علم و صنعت، ۲۲۱ صفحه.

- Meijerink, A. M. J., 1988. Data acquisition and data capture through terrain mapping units, ITC Journal., p.23-44.
- Skop, E., and Acquarone, M., 1997. GIS Mapping of Evapotranspiration in the Vejle Fjordo watershed Denmark. 12th ESRI European user conference, September 29- October 1, p. 13-on CD
- Rojas, R., and Roldan, J., 1996. Evapotranspiration mapping and irrigation scheduling for Olive Trees. Proceeding of the international conference of evapotranspiration and irrigation scheduling. San Antoniu, Texas, P.644-650.
- Ray, S.S., and Dadhwal, V. K., 2001. Estimation of crop evapotranspiration of irrigation command area using remote sensing and GIS. Agricultural Water Management, v.49, p.239-249.
- Li, F., and Lyons, t.j., 1999. Remote estimation of regional evapotranspiration through remote sensing. Journal of applied meteorology, v. 38, p.1644-1654.
- مهربان، ا.، و غریب عشقی، ا.، ۱۳۸۴. استفاده از سیستم اطلاعات جغرافیایی (GIS) در شناسایی مناطق مستعد سرمزدگی، مجموعه مقالات علمی و کاربردی راه های مقابله با سرمزدگی، یزد.
- Aronoff,S., 1989. Geographic Information System: A Management Perspective, WDL Publications, Ottawa, p.33-35.
- Claessens, L., Garcia, L. A., Jensen, M., and Lange, R.W., 1994. Reference Evapotranspiration Maps for Colorado. Colorado Water Resources Research Ins., For Collins,Colorado state university, p. 27
- Faneessey, N. M., and Vogel, R. M., 1996. Regional models of potential evaporation and reference evapotranspiration for the north-east USA. Journal of Hydrology, v.184, p.337-345.
- Jallala, A. M., 1981.Geo-Climat zones in the western region and their impact on agricultural productivity, M.Sc Thesis, University of Idaho.